

アンサンブル量子DA変換における量子相関

齋藤 暁 <saitoh@cs.tut.ac.jp>

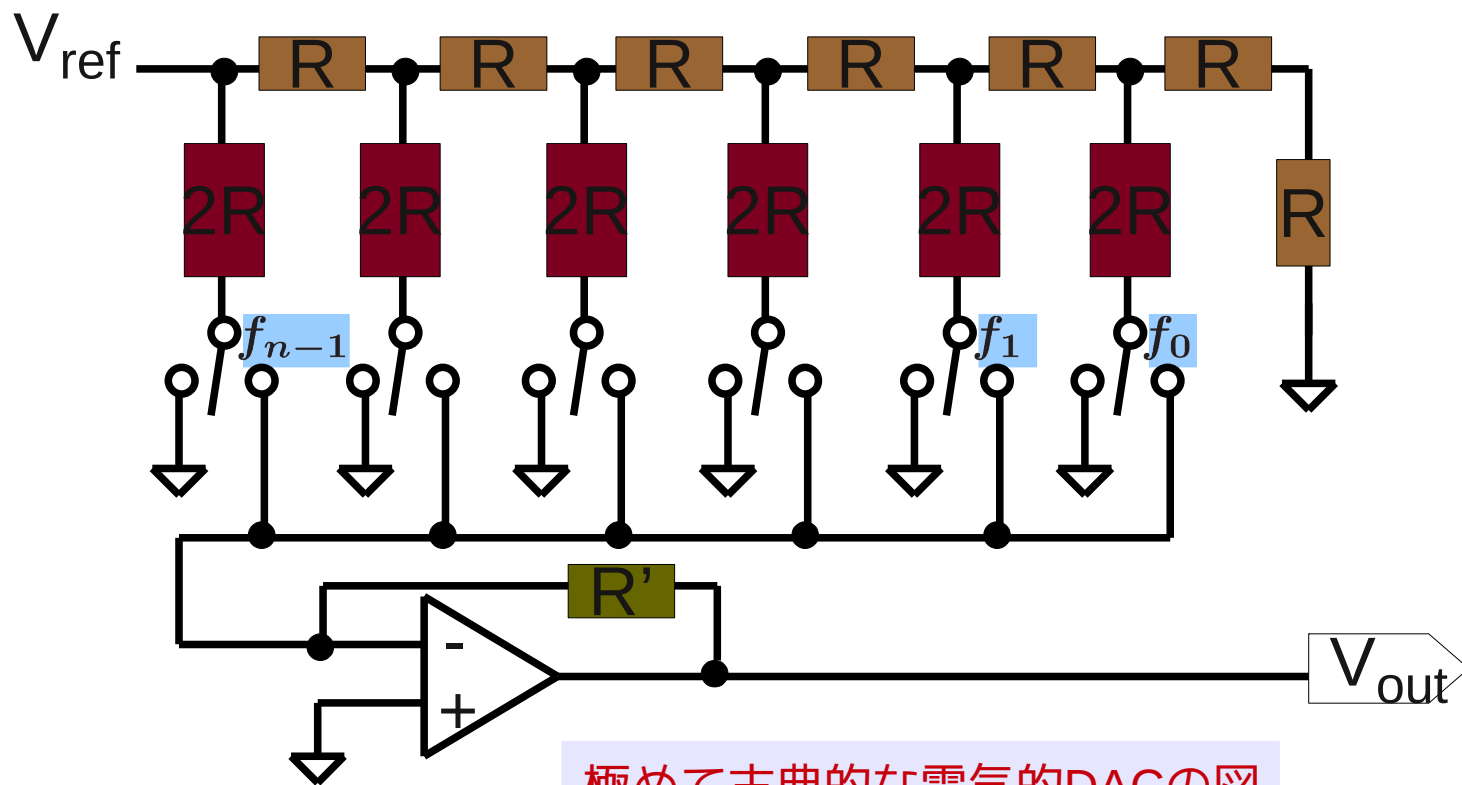
豊橋技術科学大学

[arXiv:1409.0088v3](https://arxiv.org/abs/1409.0088v3)

デジタル-アナログ変換 (DAC)

デジタルデータ $f(k) = f_{n-1}(k) \cdots f_0(k)$ n ビットデータ
 $k \in \{0, 1\}^m$ (k はチャネルや時間スロット)

アナログ振幅
 $V(k) = c f(k)$
 $c : \text{const.}$



極めて古典的な電氣的DACの図

既存の量子 ADC/DAC (と呼ばれているもの)

連続な波動関数

$$\psi(x) \quad (x \in [0, L])$$

n -量子ビットレジスタの状態

$$\frac{1}{\sqrt{2^n}} \sum_{j=0}^{2^n-1} \psi(jL/2^n) |j\rangle$$



Jaynes-Cummingsモデルでの時間発展を利用する。

[Schmüser and Janzing, Phys Rev A 72, 042324 (2005)].

これは、しかしながら、アナログ-アナログ変換 (AAC) と言うべき。というのは、連続量と複素振幅の間の変換であるので。

我々が採用する (並列) DAC の定義

インスタンス: 整数 $m, n \geq 1$, 集合 $\{k\}$ ($k \in \{0, 1\}^m$),

$$\text{写像 } f : \{0, 1\}^m \rightarrow \{0, 1\}^n$$

制限: f はデジタルデータ $f(k)$ の初期生成のみに使用

課題: すべての k に対してアナログ振幅

$$V(k) = c f(k) \quad c : \text{const. を生成せよ}$$

ユニタリーな並列DACの難しさについて

定義: 完全にユニタリーな量子DAC

$$\hat{V} : (1/\sqrt{N_k}) \sum_k |f(k)\rangle |k\rangle \mapsto \sum_k \hat{f}(k) |f(k)\rangle |k\rangle$$

ここで $|\hat{f}(k)|^2 \propto f(k) + \epsilon$, $\epsilon < 1/2^m$, かつ $\sum_k |\hat{f}(k)|^2 = 1$.
(const.)

メモ: \hat{V} が存在するのは明らか [Shende et al. IEEE Trans. CAD 25, 1000-1010 (2006)].

命題

NP \subseteq BQP でない限り、 \hat{V} は poly(m,n)-サイズの量子回路では構成できない。

証明の概略

右の関数を採用する: $f(k) = \varphi(k)_{n-1} 0_{n-2} 0_{n-3} \cdots 0_0$.

CNF φ が充足可能な場合、出力状態の右側のレジスタを測定すると、充足割り当てが確率 $> 1/2$ で観測される。

充足不可能の場合、測定結果は乱数となる。 \square

非ユニタリーなアルゴリズム

$\text{poly}(m,n)$ -コストのアルゴリズムは存在しそうにないため、線形時間ではあるが混合状態の古典並列性を利用する、非ユニタリーな量子アルゴリズムを開発する。

アルゴリズム中で使用する量子緩和

Depolarization写像

$$\Lambda_{\text{dpl}}(p, \rho) = (1 - p)\rho + p(\text{Tr}\rho)I/d$$

確率 p で(単位行列 I/d)を混ぜる

Dephasing写像

$$\Lambda_{\text{ph}}(p, \rho) = (1 - p)\rho + p \left(\sum_{i=0}^{d-1} \langle i|\rho|i\rangle |i\rangle\langle i| \right)$$

確率 p で非対角要素を消去する

サブルーチン S_1

$$\begin{aligned} \text{入力: } |\psi_{fk}\rangle &= |f_{n-1}f_{n-2}\cdots f_0\rangle^L |k\rangle^R \\ & (f_i \in \{0, 1\}, k \in \{0, 1\}^m) \end{aligned}$$

$$\begin{aligned} \text{出力: } \tilde{\rho}_{fk} &= |f_{n-1}\rangle\langle f_{n-1}| \otimes \cdots \otimes |f_0\rangle\langle f_0| \otimes |k\rangle^R\langle k| \\ & \otimes \left[\left(\frac{I}{2}\right) \delta(f_{n-1}) + (|0\rangle\langle 0|)\delta(f_{n-1} - 1) \right] \\ & \otimes \cdots \otimes \left[\left(\frac{I}{2}\right) \delta(f_0) + (|0\rangle\langle 0|)\delta(f_0 - 1) \right] \end{aligned}$$

手順:

- (i) 補助量子ビットレジスタ $|0_{n-1}^{a_{n-1}} \cdots 0_0^{a_0}\rangle^A$ を追加する。
- (ii) 各ペア (f_i, a_i) に 0-制御-Hadamardゲートを作用させる。
- (iii) レジスタ R の各量子ビットに $\Lambda_{\text{ph}}(p=1)$ を作用させる。
- (iv) レジスタ L と A の各量子ビットに $\Lambda_{\text{ph}}(p=1)$ を作用させる。

例)

実際には重ね合わせだが、そのなかの一つをとってみる。

$$|f_2 f_1 f_0\rangle = |101\rangle$$

(i) ↓

$$|101\rangle^L |*\rangle^R |000\rangle^A$$

0-制御-Hadamardゲート

(ii) ↓

左ビットがゼロの時右ビット0を $|+\rangle$ にする。

$$|+\rangle = (|0\rangle + |1\rangle)/\sqrt{2}$$

$$|101\rangle^L |*\rangle^R |0\rangle |+\rangle |0\rangle^A$$

(iii) & (iv) ↓

$$(|1\rangle\langle 1| \otimes |0\rangle\langle 0| \otimes |1\rangle\langle 1|)^L \otimes (|*\rangle\langle *|)^R \otimes (|0\rangle\langle 0| \otimes I/2 \otimes |0\rangle\langle 0|)^A$$

アルゴリズム

入力: 整数 $m, n \geq 1$ 及び関数 $f : \{0, 1\}^m \rightarrow \{0, 1\}^n$.

出力: 多数の量子状態の古典的な混合で、各量子状態の信号強度が $V(k) \propto f(k)$ ($k \in \{0, 1\}^m$) であるようなもの.

手順:

(1) 純粋状態 $|\psi_0\rangle = (1/\sqrt{2^m}) \sum_{k=0}^{2^m-1} |f(k)\rangle^L |k\rangle^R$

もしくは

混合状態 $\rho_0 = (1/2^m) \sum_{k=0}^{2^m-1} |f(k)\rangle^L \langle f(k)| \otimes |k\rangle^R \langle k|$

を作成する(下のそれぞれの時間発展)。 f はオラクル回路とみなして、その内部構造は考えない。

$$|0\rangle^{\otimes n} \left(\frac{|0\rangle + |1\rangle}{\sqrt{2}} \right)^{\otimes m} \xrightarrow{f} |\psi_0\rangle$$

$$(|0\rangle\langle 0|)^{\otimes n} \otimes (I/2)^{\otimes m} \xrightarrow{f} \rho_0$$

(2) いずれの状態であっても、サブルーチン S_1 に通す。すると、

$$|\psi_0\rangle \text{ or } \rho_0 \xrightarrow{S_1} \rho_1, \quad (\text{いずれであっても同じ状態に写される。})$$

$$\rho_1 = \frac{1}{2^m} \sum_{k=0}^{2^m-1} \left\{ |f_{n-1}(k)\rangle\langle f_{n-1}(k)| \otimes \cdots \otimes |f_0(k)\rangle\langle f_0(k)| \otimes |k\rangle\langle k| \right. \\ \left. \otimes \left[\left(\frac{I}{2}\right) \delta(f_{n-1}(k)) + (|0\rangle\langle 0|) \delta(f_{n-1}(k) - 1) \right]^{a_{n-1}} \right. \\ \left. \otimes \cdots \otimes \left[\left(\frac{I}{2}\right) \delta(f_0(k)) + (|0\rangle\langle 0|) \delta(f_0(k) - 1) \right]^{a_0} \right\}$$

(3) Depolarization写像 $\Lambda_{\text{dpl}}(p = p_i)$ を各補助量子ビット a_i に
変数値 $p_i = 1 - 2^{i-n+1}$ で作用させる。

また $q_i = 2^{i-n+1}$ とおく。

その結果、以下の状態となる。これを出力とする。

$$\rho_2 = \frac{1}{2^m} \sum_{k=0}^{2^m-1} \left\{ \left[\bigotimes_{i=0}^{n-1} |f_i(k)\rangle\langle f_i(k)| \right]^L \otimes |k\rangle^R \langle k| \right. \\ \left. \otimes \bigotimes_{i=0}^{n-1} \left[\left(\frac{I}{2}\right) \delta(f_i(k)) + p_i \left(\frac{I}{2}\right) \delta(f_i(k) - 1) \right. \right. \\ \left. \left. + q_i (|0\rangle\langle 0|) \delta(f_i(k) - 1) \right]^{a_i} \right\}$$

補助ビット a_0, \dots, a_{n-1} についてののみ $|\hat{Z}\rangle \equiv Z/2 + I/2$ の deviation density matrix 表示を採用し、スーパーケットで書くと

$$|\hat{\rho}_2\rangle\rangle = \frac{1}{2^m} \sum_{k=0}^{2^m-1} \left\{ \left[\bigotimes_{i=0}^{n-1} |f_i(k)\rangle\rangle \right]^L \otimes |k\rangle\rangle^R \otimes \left[\bigotimes_{i=0}^{n-1} 2^{i-n+1} \delta(f_i(k) - 1) |\hat{Z}\rangle\rangle^{a_i} \right] \right\}$$

ただし、 $|\cdot\rangle\rangle \equiv |\cdot\rangle\langle\cdot|$.

各 k について、 $\langle \sum_i Z^{a_i} \rangle \propto f(k) = f_0(k) \cdots f_{n-1}(k)$

よって、 $|\hat{\rho}_2\rangle\rangle$ は DAC 出力の混合になっている。

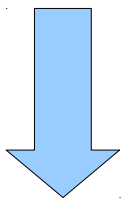
各 k についてシグナルを取り出すには、

$$(k)\text{-controlled-}H^{\otimes n} \rightarrow \langle \sum_i X^{a_i} \rangle \text{測定} \rightarrow (k)\text{-controlled-}H^{\otimes n}$$

例) 重ね合わせのなかの一つだけとってみると、

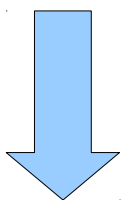
$$|f_2 f_1 f_0\rangle = |101\rangle$$

(1)&(2)



$$(|1\rangle\langle 1| \otimes |0\rangle\langle 0| \otimes |1\rangle\langle 1|)^L \otimes (|*\rangle\langle *|)^R \otimes (|0\rangle\langle 0| \otimes I/2 \otimes |0\rangle\langle 0|)^A$$

(3)



$$(\dots)^{LR} \otimes (|0\rangle\langle 0|) \otimes (I/2) \otimes [(1 - 1/2^2)I/2 + 1/2^2|0\rangle\langle 0|]$$

$$\text{測定値} \propto (\text{Tr}|0\rangle\langle 0|Z = 1 \times (1/2^0)) + (\text{Tr}(I/2)Z = 0 \times (1/2^1))$$

$$+ (\text{Tr}[(1 - 1/2^2)I/2 + 1/2^2|0\rangle\langle 0|]Z = 1 \times (1/2^2))$$

$$\propto f.$$

計算コスト及び必要な物理的資源

時間量: f の内部コスト : クエリーに含める
その他の各ステップ: $O(m+n)$ $O(m+n)$

空間量: f 内部の回路幅 : クエリーに含める
その他の部分での回路幅: $m+2n$ $m+2n$

クエリー量: 1回

物理的資源:

レジスタの
初期化コスト

データ圧縮して圧縮部分を捨てるアルゴリズム
(例えば Schulman-Vazirani 1999) を使うと、
 $\text{poly}(m,n)$ 資源でレジスタ初期化が可能である。

平均値測定のコスト

信号 $V(k) \propto f(k)/2^m$
ランダムノイズの下で L 回積算すると、
SN比は、 $\propto L/2^m : \sqrt{L}$

$O(2^{2m})$ 回の積算が必要。

現実的な入力サイズ : $m \lesssim (\log_2 10^{23})/2 \simeq 38$

アルゴリズム中に現れる量子相関

始めから混合状態を使う場合、エンタングルメントは存在しない。
しかし、量子ディスコードで定量化される量子相関は現れる。

サブルーチン S_1 のステップ(ii)で以下の状態が現れる。

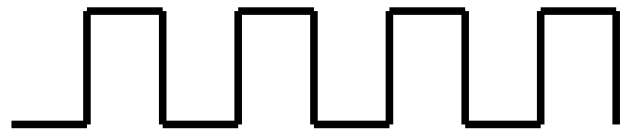
$$\tilde{\rho} = (1/2^m) \sum_{k=0}^{2^m-1} |f(k)\rangle^L \langle f(k)| \otimes |k\rangle^R \langle k| \otimes |a(k)\rangle^A \langle a(k)|$$

$$\text{ここで } |a(k)\rangle^A = \bigotimes_i (|+\rangle_i \delta(f_i(k)) + |0\rangle_i \delta(f_i(k) - 1)) .$$

簡単のため、 f としてクロック関数を考える：

$$f(k) = 2^{n-1} \quad \text{半数の } k.$$

$$f(k) = 0 \quad \text{残り半数の } k.$$



Aを測定側として量子ディスコードの量を計算すると、

$$D^{\Pi^A}(\tilde{\rho}) \approx 0.201752. \quad \text{なお、} D^{\Pi^{LR}}(\tilde{\rho}_c) = 0.$$

$D^{\Pi^A}(\tilde{\rho})$ の計算のやや詳細

一般の二体系 \mathcal{AB} で、 \mathcal{A} を測定側とした量子ディスコード :

$$D^{\Pi^A}(\rho^{\mathcal{AB}}) = S(\rho^{\mathcal{A}}) - S(\rho^{\mathcal{AB}}) + \min_{\Pi^A} S(\rho^{\mathcal{AB}} | \Pi^A)$$

$$\text{ここで、 } S(\rho^{\mathcal{AB}} | \Pi^A) = \sum_j p_j S(\sigma_j)$$

$$\text{ただし } \begin{cases} p_j = \text{Tr}(\Pi_j^{\mathcal{A}} \otimes I^{\mathcal{B}} \rho^{\mathcal{AB}}) \\ \sigma_j = (\Pi_j^{\mathcal{A}} \otimes I^{\mathcal{B}} \rho^{\mathcal{AB}} \Pi_j^{\mathcal{A}} \otimes I^{\mathcal{B}}) / p_j \end{cases}$$

$\Pi^{\mathcal{A}} = \{\Pi_j^{\mathcal{A}}\}$ は直交する射影演算子の集合

さて、今の文脈では、

$$\mathcal{A} = \text{A}, \mathcal{B} = \text{LR}, \rho^{\mathcal{AB}} = \tilde{\rho} \quad \text{である。}$$

まず、簡単に分かるのは、

$$S(\tilde{\rho}) = S(\tilde{\rho}^{\text{LR}}) = m.$$

$$\begin{aligned} \text{また、 } S(\tilde{\rho}^A) &= S\left(\frac{|+\rangle\langle+|+|0\rangle\langle 0|}{2} \otimes |+\cdots+\rangle\langle+\cdots+|\right) \\ &= -\sum_{\pm} \lambda_{\pm} \log_2 \lambda_{\pm} \approx 0.600876 \quad (\lambda_{\pm} = \frac{1}{2} \pm \frac{\sqrt{2}}{4}). \end{aligned}$$

これらから、計算すべき量子ディスクコードは、

$$D^{\Pi^A}(\tilde{\rho}) \approx 0.600876 - m + \min_{\Pi^A} S(\tilde{\rho}|\Pi^A).$$

[arXiv:1409.0088v3](https://arxiv.org/abs/1409.0088v3) のSupplementary Materialから、

$$\begin{aligned} \min_{\Pi^A} S(\tilde{\rho}|\Pi^A) &= m + \min_{\theta} \left[-H\left(\frac{(\cos\theta + \sin\theta)^2}{4} + \frac{\cos^2\theta}{2}\right) \right. \\ &\quad \left. + \frac{1}{2}H\left(\frac{(\cos\theta + \sin\theta)^2}{2}\right) + \frac{1}{2}H(\cos^2\theta) \right] \\ &\approx m - 0.399124. \end{aligned}$$

ただし $H(x) = -x \log_2 x - (1-x) \log_2(1-x)$.

以上から、 $D^{\Pi^A}(\tilde{\rho}) \approx 0.201752$.

まとめ

- $NP \subseteq BQP$ でない限り、ユニタリーな量子DACを行う量子回路は、多項式回路サイズでは構成できない。
- 緩和を利用するアンサンブル量子DACを提案した。
- 線形時間、領域で動作するが、物理資源は指数的に大きなものを使用する。分子アンサンブル系では、 $m \lesssim 38$ までならば、実装不可能ではない。
- 混合状態から始めると、エンタングルメントはないが、量子ディスコードはサブルーチン S_1 で現れる。